

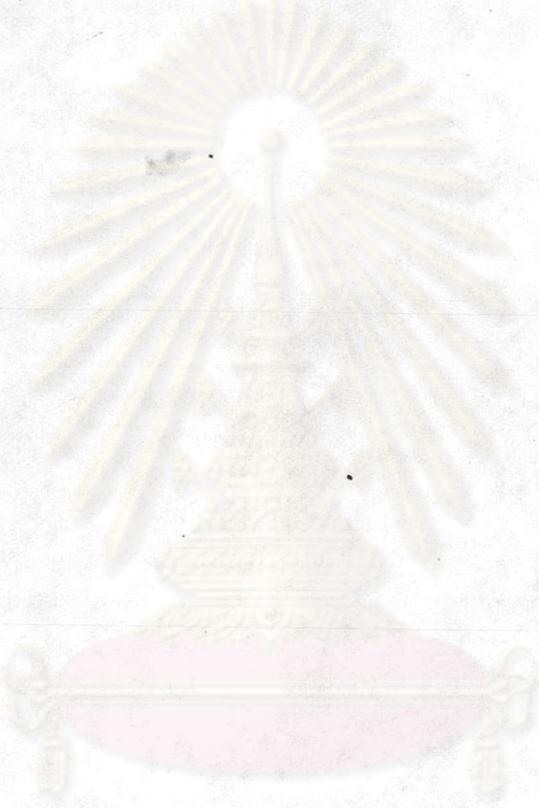
ผลการทดลอง

4.1 การจำแนกชนิดทางอนุกรมวิธานของยีสต์สายพันธุ์ที่แยกได้

ผลการศึกษารูปร่างและรูปร่างของเซลล์ยีสต์ทั้ง 8 สายพันธุ์ที่แยกได้แสดงให้เห็นว่ายีสต์เหล่านี้มีลักษณะโคโลนีใกล้เคียงกัน ดังแสดงในตารางที่ 2 อาจแยกยีสต์ออกได้เป็น 2 กลุ่มตามขนาดของเซลล์ซึ่งแสดงในตารางที่ 4 กล่าวคือยีสต์ที่มีขนาดเซลล์เล็ก (3.0 x 5.0 ไมครอน) ได้แก่สายพันธุ์ Y1, Y3 และ Y4 ยีสต์ที่มีขนาดใหญ่ (4.0 x 6-12 ไมครอน) ได้แก่สายพันธุ์ Y2, Y5, Y6, Y9 และ Y10 ดังแสดงในรูปที่ 10-17 นอกจากนี้ยีสต์ทุกสายพันธุ์ยกเว้นยีสต์สายพันธุ์ Y1 สร้างเส้นใยเทียมที่มีลักษณะแตกต่างกันออกไป ดังแสดงในตารางที่ 4 ยีสต์ทุกสายพันธุ์ที่แยกได้ไม่ใช้ในเตรตเป็นแหล่งไนโตรเจนดังแสดงในตารางที่ 5 แสดงให้เห็นว่ายีสต์สายพันธุ์ Y2 และ Y5 สร้างเส้นใยเทียมแบบ *mycotoruloides* อย่างไรก็ตาม ผลการวิเคราะห์รูปร่างเซลล์ และการใช้น้ำตาลของยีสต์ทั้งสองชนิดนี้ พบว่ายีสต์สายพันธุ์ Y5 ใช้น้ำตาลซูโครส มอลโตส เซลลูโลส อาราบิโนส กาแลคโตส แมนนิทอล ไรโบitol แต่ในขณะที่ยีสต์สายพันธุ์ Y2 ไม่ใช้น้ำตาลเหล่านี้ ดังแสดงในตารางที่ 5 ในทำนองเดียวกันยีสต์สายพันธุ์ Y4 และ Y10 มีเส้นใยเทียมแบบ *candida* เช่นเดียวกัน แต่มีรูปร่างเซลล์และการใช้น้ำตาลแตกต่างกัน ยีสต์สายพันธุ์ Y3 และ Y9 มีเส้นใยคล้ายกันแบบ *mycotorula* แต่มีรูปร่างเซลล์แตกต่างกัน และการใช้น้ำตาลแตกต่างกัน ยีสต์ Y6 มีความแตกต่างจากยีสต์สายพันธุ์อื่น คือมีเส้นใยแบบ *mycocandida* และมีรูปร่างเซลล์กับการใช้น้ำตาลแตกต่างจากยีสต์สายพันธุ์อื่น ในยีสต์สายพันธุ์ Y1 ไม่พบการสร้างเส้นใย ยีสต์ทั้ง 8 สายพันธุ์มีการสืบพันธุ์แบบไม่อาศัยเพศโดยการแตกหน่อแบบ *multilateral budding* ไม่พบการสืบพันธุ์แบบอาศัยเพศที่มีการสร้างแอสโคสปอร์

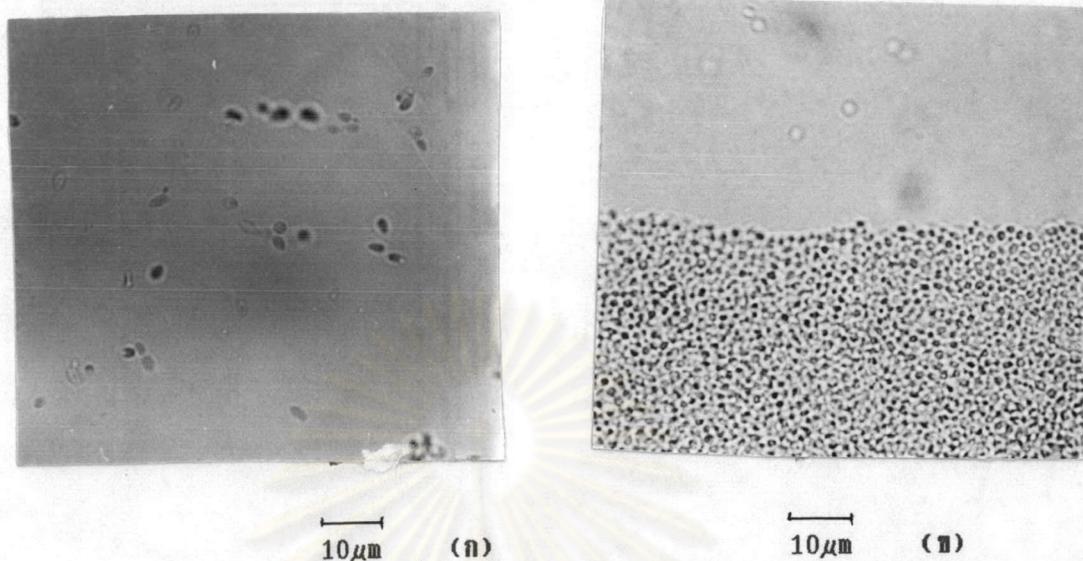
ผลการเลี้ยงยีสต์ทั้ง 8 สายพันธุ์ ดังกล่าวข้างต้นในอาหารเลี้ยงเชื้อ เพื่อให้ยีสต์ผลิต arthrospores (รูปที่ 18) ballistospore (รูปที่ 19) และ ascospore (รูปที่ 20) พบว่ายีสต์ทุกสายพันธุ์ไม่ผลิตสปอร์เหล่านี้ เมื่อเทียบกับคอนโทรลดังแสดงในตารางที่ 6

ผลการทดลองข้างต้นแสดงให้เห็นว่ายีสต์ที่แยกได้เป็นคณะสายพันธุ์ และสายพันธุ์ Y1 อยู่ในจีนัส *Torulopsis* sp. ส่วนสายพันธุ์อื่นอยู่ในจีนัส *Candida* spp.



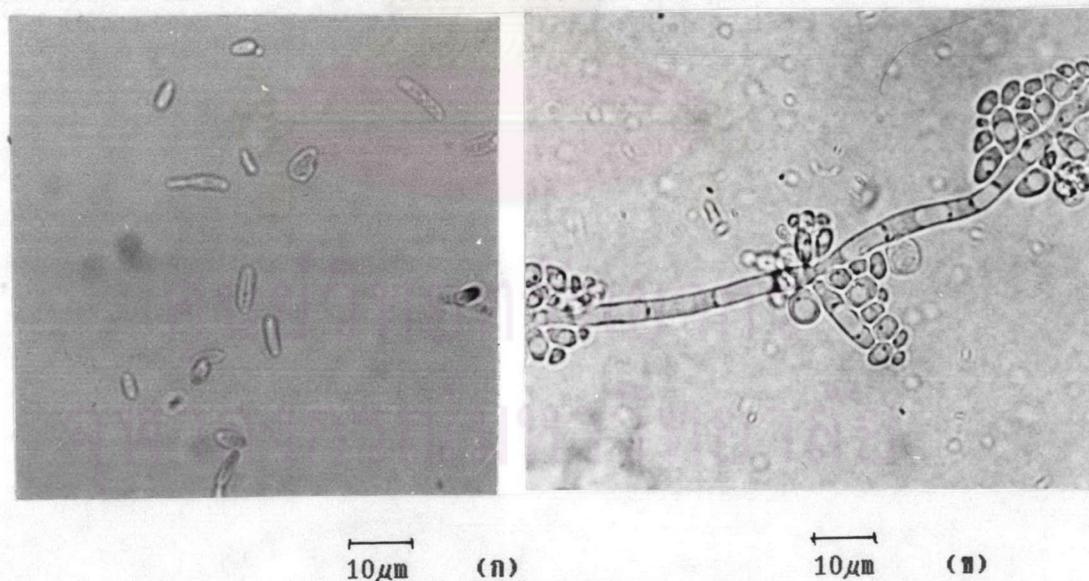
ศูนย์วิทยทรัพยากร
จุฬาลงกรณ์มหาวิทยาลัย

ผลการตรวจรูปร่างเซลล์ ลักษณะการแตกหน่อ และการสร้างเส้นใย



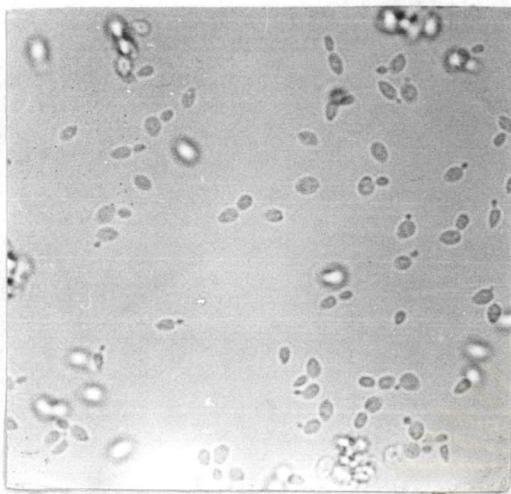
รูปที่ 10 (ก) รูปร่างเซลล์ยีสต์สายพันธุ์ Y1 บนอาหารเลี้ยงเชื้อ morphology agar
อายุ 48 ชั่วโมง

(ข) ลักษณะการไม่สร้างเส้นใยบนอาหารเลี้ยงเชื้อ corn meal agar

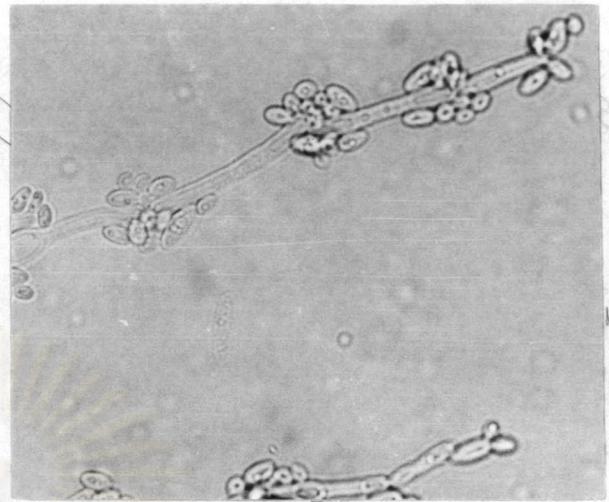


รูปที่ 11 (ก) รูปร่างเซลล์ยีสต์สายพันธุ์ Y2 บนอาหารเลี้ยงเชื้อ morphology agar
อายุ 48 ชั่วโมง

(ข) ลักษณะการสร้างเส้นใยบนอาหารเลี้ยงเชื้อ corn meal agar



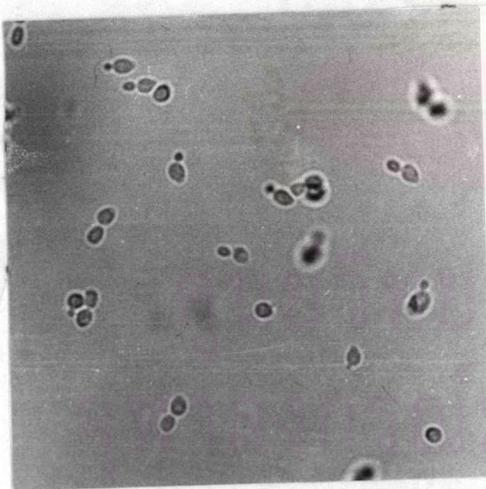
10 μ m (ก)



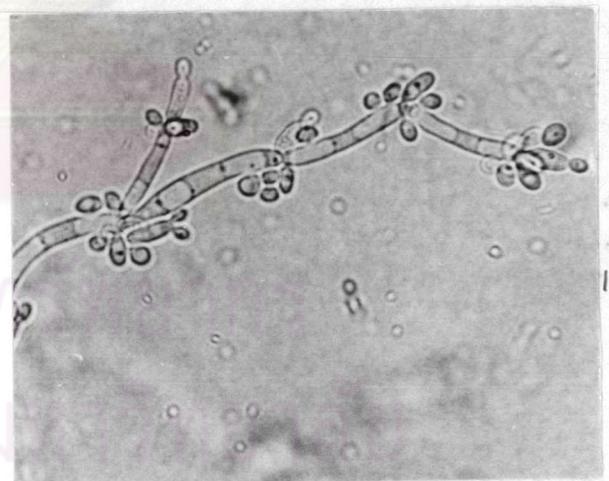
10 μ m (ข)

รูปที่ 12 (ก) รูปร่างเซลล์ยีสต์สายพันธุ์ Y3 บนอาหารเลี้ยงเชื้อ morphology agar
อายุ 48 ชั่วโมง

(ข) ลักษณะการสร้างเส้นใยบนอาหารเลี้ยงเชื้อ corn meal agar



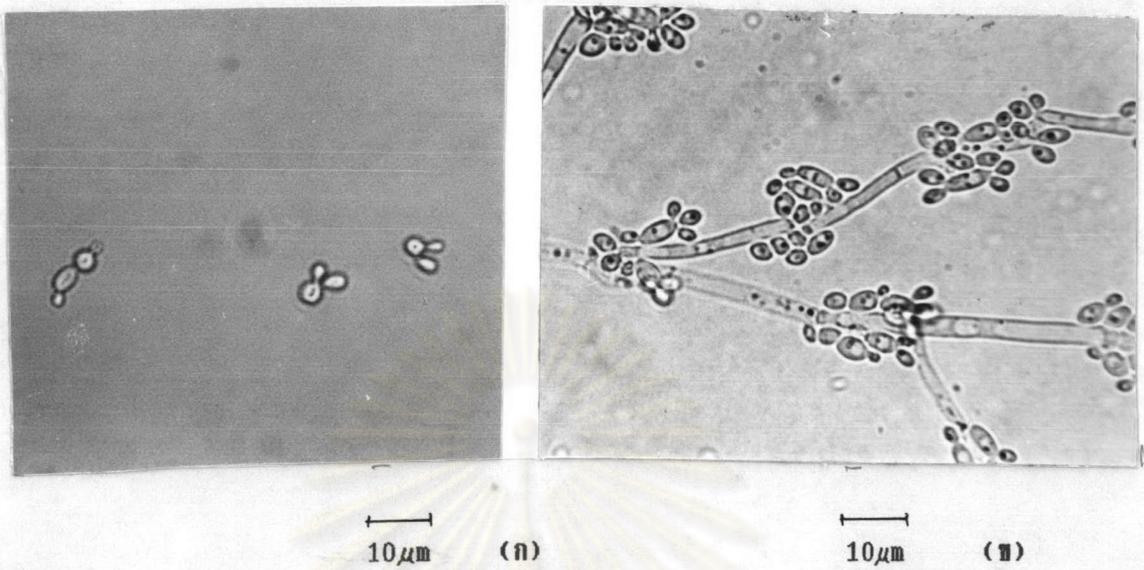
10 μ m (ก)



10 μ m (ข)

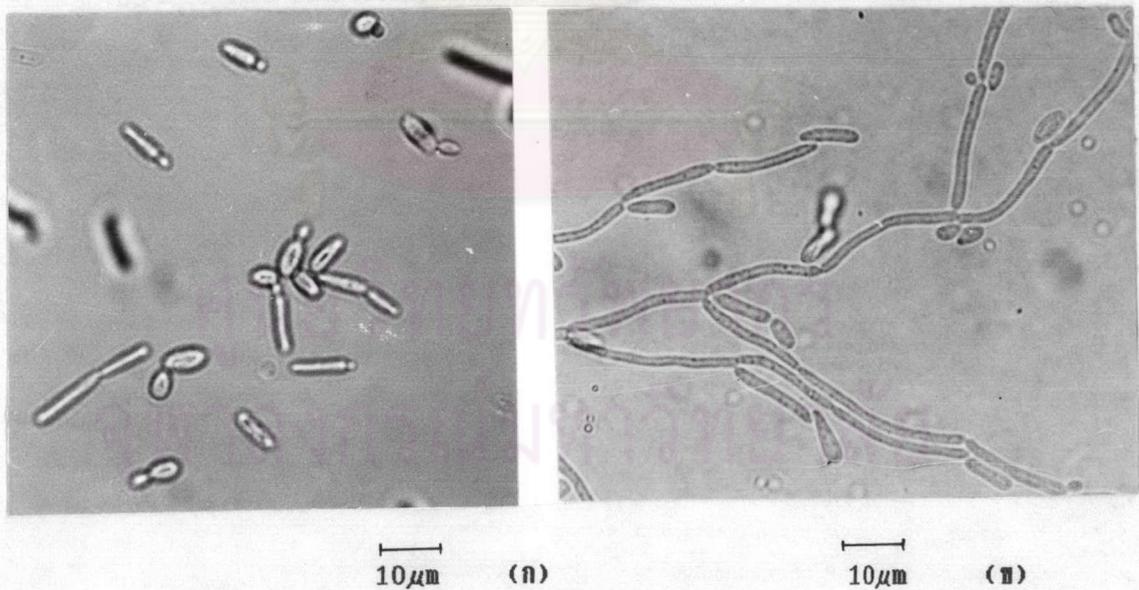
รูปที่ 13 (ก) รูปร่างเซลล์ยีสต์สายพันธุ์ Y4 บนอาหารเลี้ยงเชื้อ morphology agar
อายุ 48 ชั่วโมง

(ข) ลักษณะการสร้างเส้นใยบนอาหารเลี้ยงเชื้อ corn meal agar



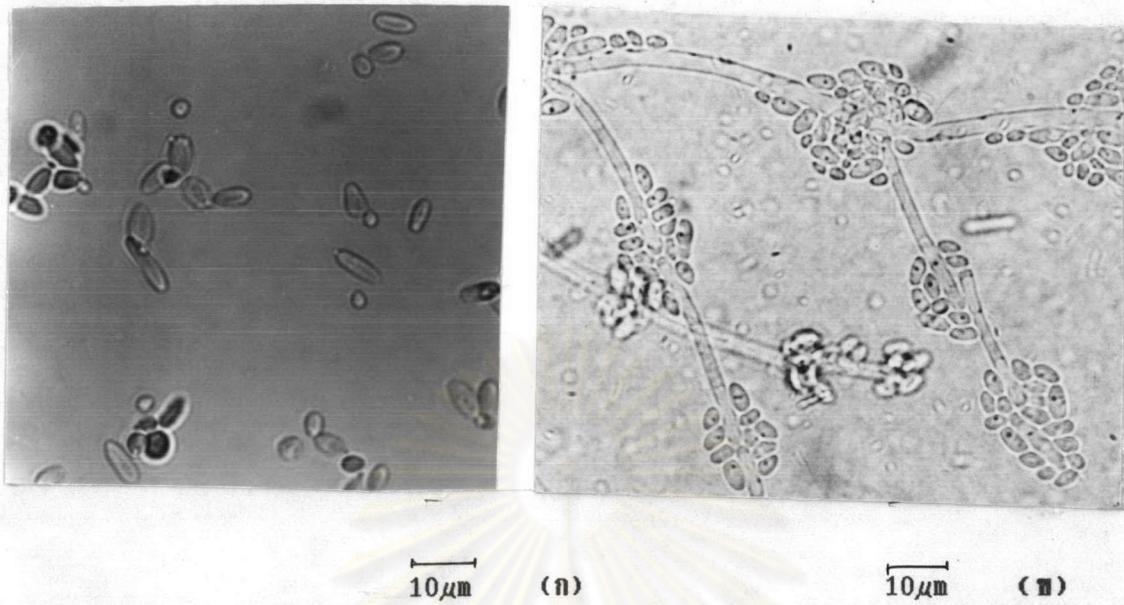
รูปที่ 14 (ก) รูปร่างเซลล์ยีสต์สายพันธุ์ Y5 บนอาหารเลี้ยงเชื้อ morphology agar
อายุ 48 ชั่วโมง

(ข) ลักษณะการสร้างเส้นใยบนอาหารเลี้ยงเชื้อ corn meal agar



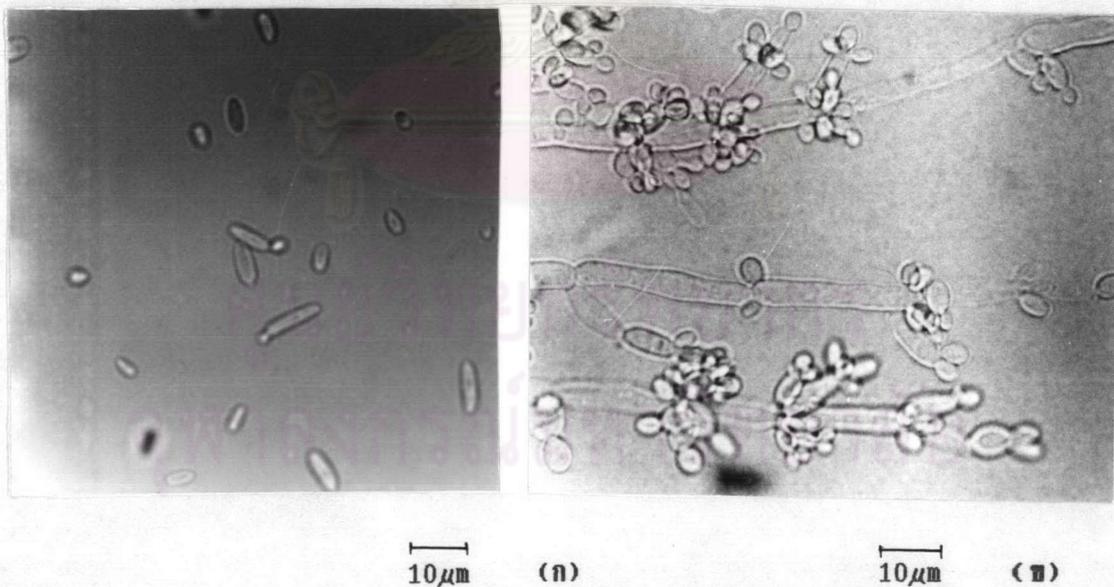
รูปที่ 15 (ก) รูปร่างเซลล์ยีสต์สายพันธุ์ Y6 บนอาหารเลี้ยงเชื้อ morphology agar
อายุ 48 ชั่วโมง

(ข) ลักษณะการสร้างเส้นใยบนอาหารเลี้ยงเชื้อ corn meal agar



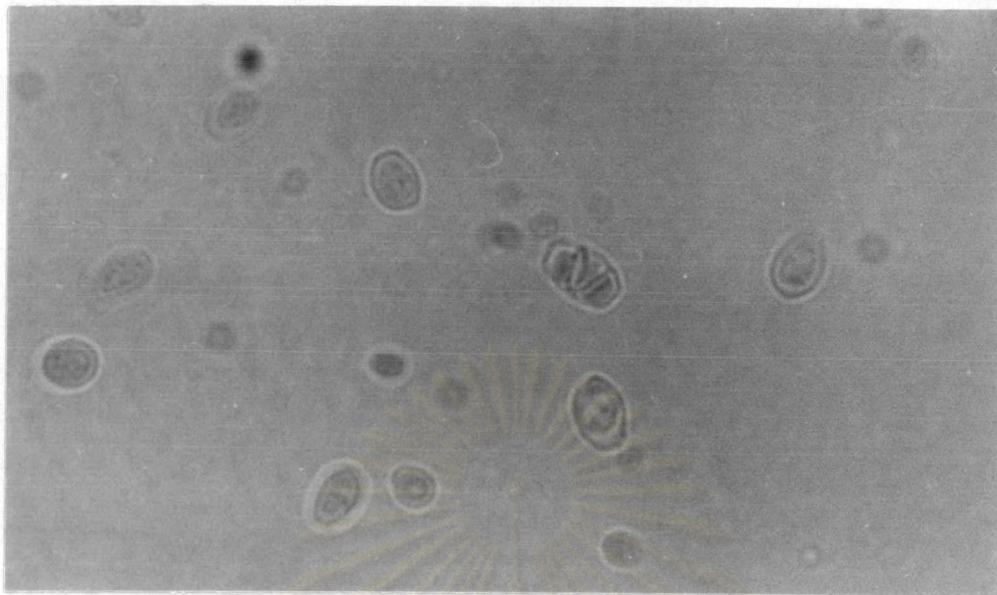
รูปที่ 16 (ก) รูปร่างเซลล์ยีสต์สายพันธุ์ Y9 บนอาหารเลี้ยงเชื้อ morphology agar
อายุ 48 ชั่วโมง

(ข) ลักษณะการสร้างเส้นใยบนอาหารเลี้ยงเชื้อ corn meal agar



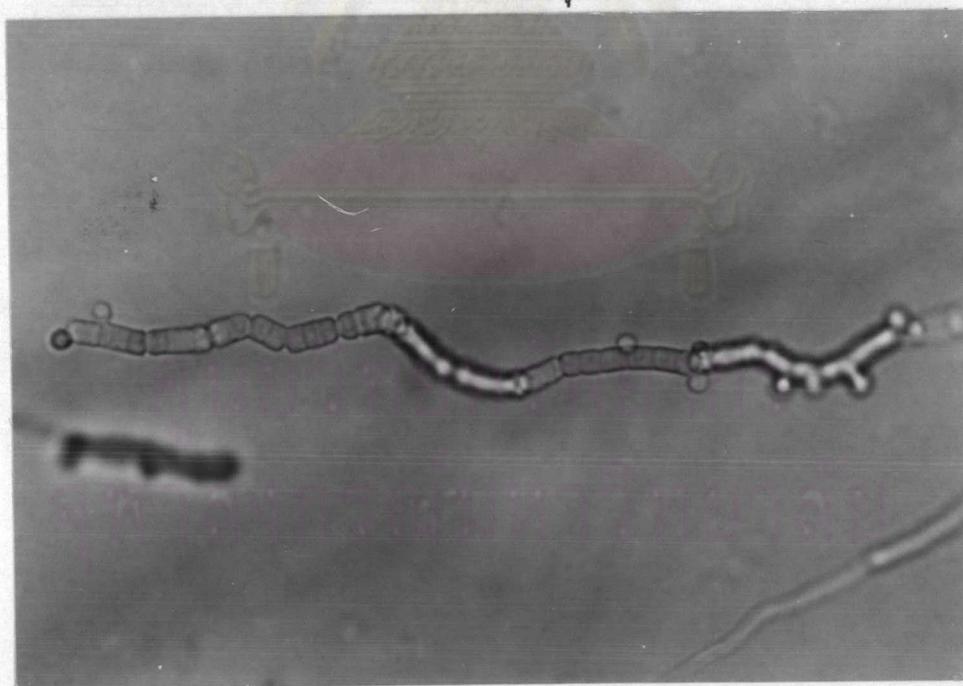
รูปที่ 17 (ก) รูปร่างเซลล์ยีสต์สายพันธุ์ Y10 บนอาหารเลี้ยงเชื้อ morphology agar
อายุ 48 ชั่วโมง

(ข) ลักษณะการสร้างเส้นใยบนอาหารเลี้ยงเชื้อ corn meal agar



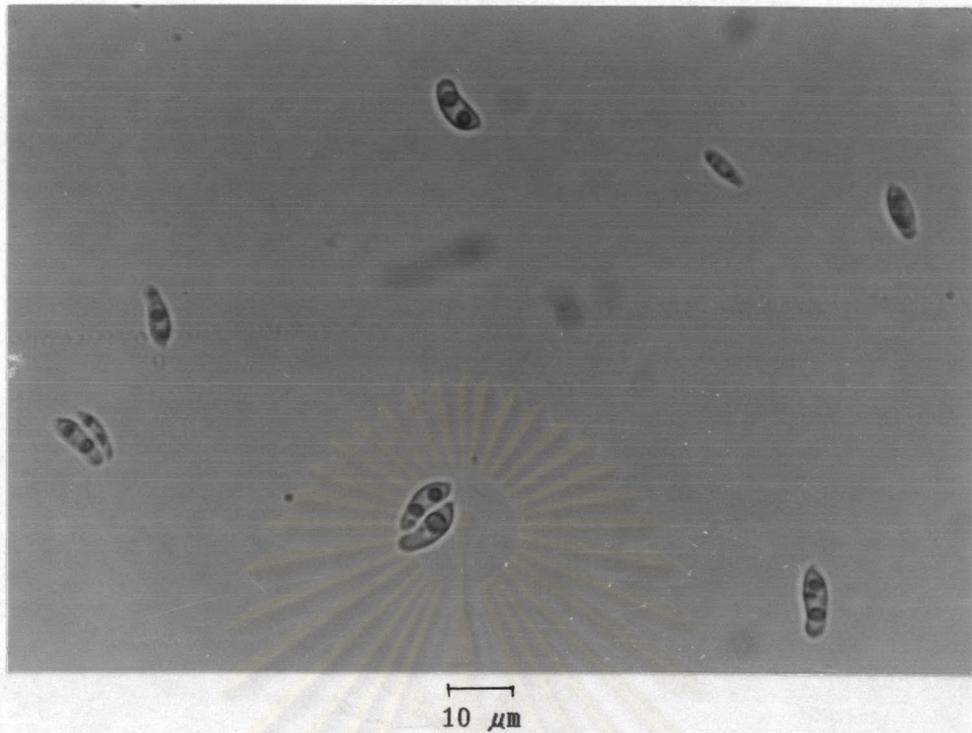
10 μm

รูปที่ 18 ลักษณะของแอสโคสปอร์ของยีสต์ *Hansenula polymorpha* TISTR 5140
บนอาหารเลี้ยงเชื้อ acetate agar อายุ 14 วัน



10 μm

รูปที่ 19 ลักษณะของอาร์โทรสปอร์ของยีสต์ *Tricosporon cutaneum* TISTR 5133
บนอาหารเลี้ยงเชื้อ corn meal agar อายุ 4 วัน



รูปที่ 20 ลักษณะของบอลลิสโตสปอร์ของยีสต์ *Sporobolomyces pararoceus* TISTR 5213
บนอาหารเลี้ยงเชื้อ malt extract agar อายุ 15 วัน

ศูนย์วิทยทรัพยากร
จุฬาลงกรณ์มหาวิทยาลัย

ตารางที่ 3 ลักษณะโคโลนีของยีสต์ 8 สายพันธุ์บนอาหารเลี้ยงเชื้อ morphology agar

สายพันธุ์	สี	รูปร่าง	ผิวหน้า	ขอบ
Y1	ครีม	กลม	เรียบ ผิวหน้าเรียบ	เรียบ
Y2	ครีม	กลม	ไม่เรียบ ตรงกลางนูน	ไม่เรียบ
Y3	ครีม	กลม	ไม่เรียบ ตรงกลางนูน มีรอยย่นตรงกลาง	ไม่เรียบ
Y4	ครีม	กลม	ไม่เรียบ ตรงกลางนูน	ไม่เรียบ
Y5	ครีม	กลม	เรียบ ตรงกลางนูน	เรียบ
Y6	ครีม	กลม	ไม่เรียบ ตรงกลางนูน	ไม่เรียบ
Y9	ครีม	กลม	ไม่เรียบ ตรงกลางนูน	ไม่เรียบ
Y10	ครีม	กลม	ไม่เรียบ ตรงกลางนูน	ไม่เรียบ

ตารางที่ 4 ขนาด รูปร่าง ลักษณะการแตกหน่อ การสร้างเส้นใยและการสร้างสปอร์ของ
ยีสต์ 8 สายพันธุ์

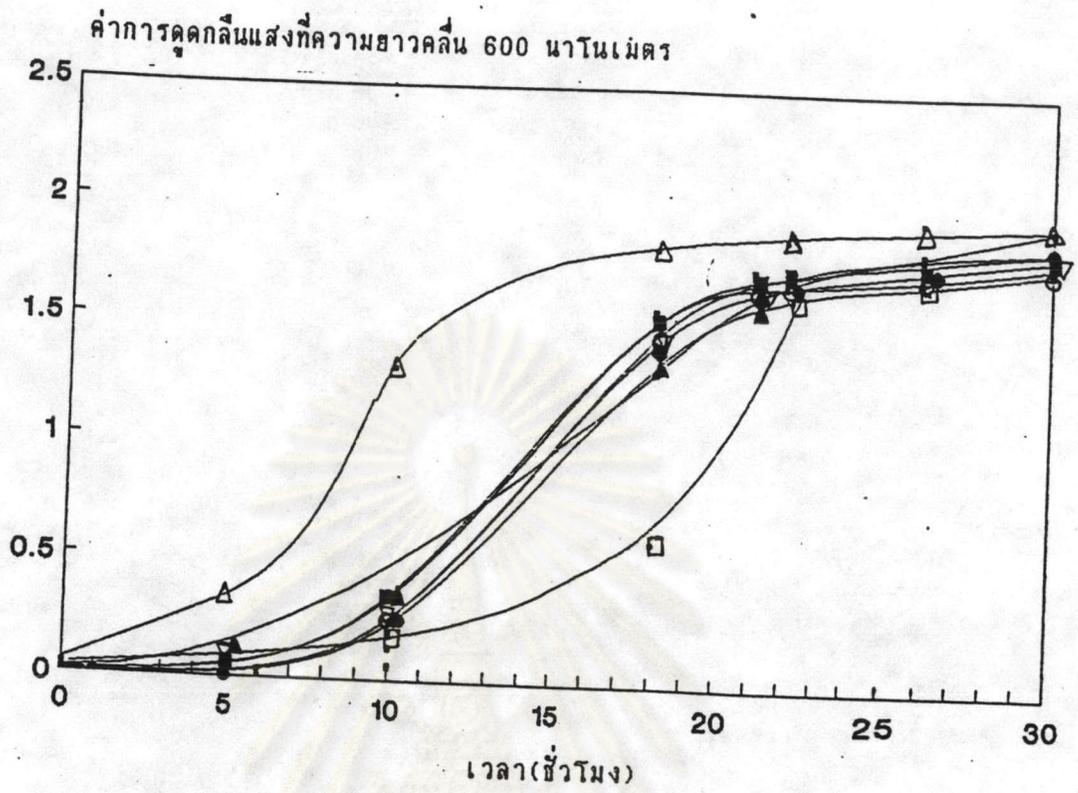
รหัส สายพันธุ์	ขนาดเฉลี่ยเซลล์ (ไมครอน)		รูปร่าง เซลล์	ลักษณะการแตกหน่อ	ลักษณะ การสร้าง เส้นใย
	กว้าง	ยาว			
Y1	3.0	5.0	รี	multilateral budding	ไม่สร้าง
Y2	4.0	12.0	ท่อนยาว	multilateral budding	สร้างเส้นใยเทียม แบบmycotoruloides
Y3	3.0	5.0	กลมรี	multilateral budding	สร้างเส้นใยเทียม แบบ mycotorula
Y4	3.0	5.0	กลมรี	multilateral budding	สร้างเส้นใยเทียม แบบ candida
Y5	4.0	6.0	รี	multilateral budding	สร้างเส้นใยเทียม แบบmycotoruloides
Y6	4.0	12.0	ท่อนรี	multilateral budding	สร้างเส้นใยเทียม แบบ mycocandida
Y9	5.0	11.0	รี	multilateral budding	สร้างเส้นใยเทียม แบบ mycotorula
Y10	4.0	10.0	รี	multilateral budding	สร้างเส้นใยเทียม แบบ candida

หมายเหตุ ไม่พบการสร้าง อาร์โทรสปอร์, บอลลิสโตสปอร์ และแอสโคสปอร์ในยีสต์ทุกสายพันธุ์
ข้างต้น

4.2 การเพิ่มจำนวนของยีสต์สายพันธุ์ที่แยกได้

รูปที่ 21 แสดงให้เห็นว่าอาจแบ่งยีสต์ที่แยกได้ออกเป็น 3 ประเภท โดยใช้วิธีการเพิ่มจำนวน กล่าวคือยีสต์ประเภทที่ 1 ได้แก่สายพันธุ์ Y5 ซึ่งใช้เวลา 8 ชั่วโมงในการเพิ่มจำนวนถึงระยะ mid log ยีสต์ประเภทที่สอง ได้แก่สายพันธุ์ Y1, Y2, Y3, Y6, Y9, Y10 ซึ่งใช้เวลา 15 ชั่วโมงในการเพิ่มจำนวนถึงระยะ mid log ส่วนยีสต์ประเภทสามได้แก่ยีสต์สายพันธุ์ Y4 ซึ่งมีอัตราการเพิ่มจำนวนช้าใช้เวลา 20 ชั่วโมงในการเพิ่มจำนวนถึงระยะ mid log ข้อมูลการทดลองที่ได้เหล่านี้ได้นำไปใช้ในการเลี้ยงเซลล์ของยีสต์ เพื่อให้เพิ่มจำนวนถึงระยะ mid log สำหรับนำมาใช้เป็นกล้าเชื้อ (inoculum) ในการทดลองต่อไป สำหรับกล้าเชื้อของยีสต์ทั้งสามประเภทที่ใช้ในระยะ stationary phase ได้แก่กล้าเชื้อที่เลี้ยงใน YM ภายใต้อุณหภูมิการทดลองเป็นเวลา 18 ชั่วโมง 20 ชั่วโมง และ 22 ชั่วโมง ตามลำดับ

ศูนย์วิทยทรัพยากร
จุฬาลงกรณ์มหาวิทยาลัย



รูปที่ 21 การเพิ่มจำนวนของยีสต์ 8 สายพันธุ์ ในอาหารเลี้ยงเชื้อ YH บนเครื่องเขย่า 200 รอบต่อนาทีที่ 28°C ผลการทดลองแต่ละจุดเป็นค่าเฉลี่ยของการทดลอง 2 ครั้ง
(—Y1, ■Y2, ⊙Y3, □Y4, ▲Y5, ●Y6, ▽Y9, △Y10)

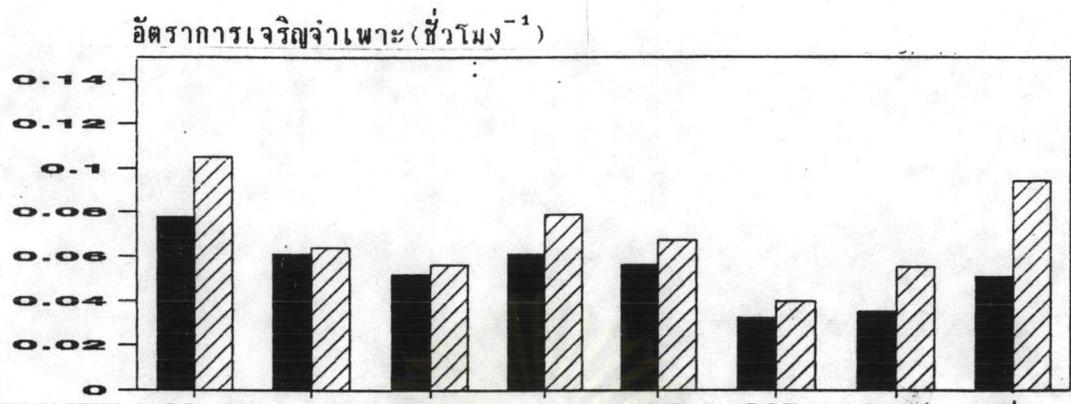
จุฬาลงกรณ์มหาวิทยาลัย

4.3 ผลของระยะเวลาเจริญของเซลล์ตั้งต้นต่ออัตราการเจริญจำเพาะ (μ) ต่อค่าสัมประสิทธิ์การผลิตเซลล์ต่อหนึ่งหน่วยชีสเตรต ($Y_{x/s}$) และการสังเคราะห์ไบโอดีทต่อหนึ่งหน่วยชีสเตรต ($Y_{p/s}$)

รูปที่ 1ง-8ง ในภาคผนวก ง แสดงผลการผลิตไบโอดีท น้ำหนักเซลล์แห้งและปริมาณน้ำตาลรีดิวซึ่ง เมื่อใช้ยีสต์ทั้ง 8 สายพันธุ์ ในระยะ mid log phase และ stationary phase เป็นกล้าเชื้อ จากการวิเคราะห์ทางสถิติและผลการทดลองในรูปที่ 30-32 พบว่าการใช้เซลล์ตั้งต้นในระยะ mid log phase หรือระยะ stationary phase ไม่มีผลต่ออัตราการเจริญจำเพาะของยีสต์สายพันธุ์ Y2 ถึง Y6 และ Y9 และไม่มีผลต่อค่า $Y_{x/s}$ และ $Y_{p/s}$ ของยีสต์ทุกสายพันธุ์ยกเว้นค่า $Y_{p/s}$ ของยีสต์สายพันธุ์ Y1 ผลการทดลองแสดงให้เห็นว่าระยะเวลาเจริญของเซลล์ตั้งต้นมีผลต่อการเพิ่มจำนวนของยีสต์สายพันธุ์ Y1 และ Y10 และค่า $Y_{p/s}$ ของสายพันธุ์ Y1 โดยเซลล์ตั้งต้นในระยะ mid log phase ของสายพันธุ์ Y1 และ Y10 มีอัตราการเจริญจำเพาะสูงกว่าเซลล์ตั้งต้นในระยะ stationary phase 30% และ 45% ตามลำดับ และเมื่อใช้เซลล์ตั้งต้นของสายพันธุ์ Y1 ในระยะ mid log phase จะได้ค่า $Y_{p/s}$ สูงขึ้น 30% ของการใช้เซลล์ตั้งต้นในระยะ stationary phase

ความสัมพันธ์ระหว่างอัตราการเจริญจำเพาะ $Y_{x/s}$ และ $Y_{p/s}$

รูปที่ 30-32 แสดงให้เห็นว่าอาจแบ่งยีสต์ที่แยกได้ออกเป็น 3 กลุ่ม ตามคุณสมบัติการเพิ่มจำนวนเซลล์และการสังเคราะห์ไบโอดีทดังนี้ กลุ่มแรกประกอบด้วยสายพันธุ์ที่มีอัตราการเจริญจำเพาะสูง และการใช้พลังงานในการเพิ่มจำนวนเซลล์มาก จึงจับปริมาณไบโอดีทออกมานอกเซลล์ในปริมาณน้อยได้แก่สายพันธุ์ Y2 Y5 และ Y10 กลุ่มที่สองประกอบด้วยยีสต์สายพันธุ์ที่มีอัตราการเจริญจำเพาะ ค่า $Y_{x/s}$ และค่า $Y_{p/s}$ ปานกลาง ได้แก่สายพันธุ์ Y3 Y4 Y6 และ Y9 กลุ่มที่สามประกอบด้วยยีสต์ 1 สายพันธุ์ (Y1) ซึ่งมีอัตราการเจริญจำเพาะสูง มีค่า $Y_{x/s}$ และค่า $Y_{p/s}$ สูง แสดงถึงประสิทธิภาพสูงในการใช้พลังงานในการเพิ่มจำนวน และการสังเคราะห์ไบโอดีทซึ่งถูกขับออกมานอกเซลล์ ดังนั้นในการทดลองครั้งต่อไป จึงใช้เซลล์ตั้งต้นของยีสต์ทุกสายพันธุ์ซึ่งอยู่ในระยะ mid log phase



รูปที่ 22



รูปที่ 23



รูปที่ 24

- รูปที่ 22 | มีสโตแกรมเปรียบเทียบค่าอัตราการเจริญจำเพาะ (μ) ในยีสต์ทั้ง 8 สายพันธุ์ในอาหารเลี้ยงเชื้อที่ไม่เติมไบโอดีล ในระดับขวดเซ้า
- รูปที่ 23 | มีสโตแกรมเปรียบเทียบค่าสัมประสิทธิ์เซลล์ต่อหนึ่งหน่วยชีสเตรตในระดับขวดเซ้า
- รูปที่ 24 | มีสโตแกรมเปรียบเทียบค่าสัมประสิทธิ์การผลิตไบโอดีลต่อหนึ่งหน่วยชีสเตรตในระดับขวดเซ้า

4.4 ผลของการเติมกรดพืชมิลค์ต่ออัตราการเจริญจำเพาะ ค่า $Y_{x/s}$ และค่า $Y_{p/s}$ ของยีสต์ 8 สายพันธุ์

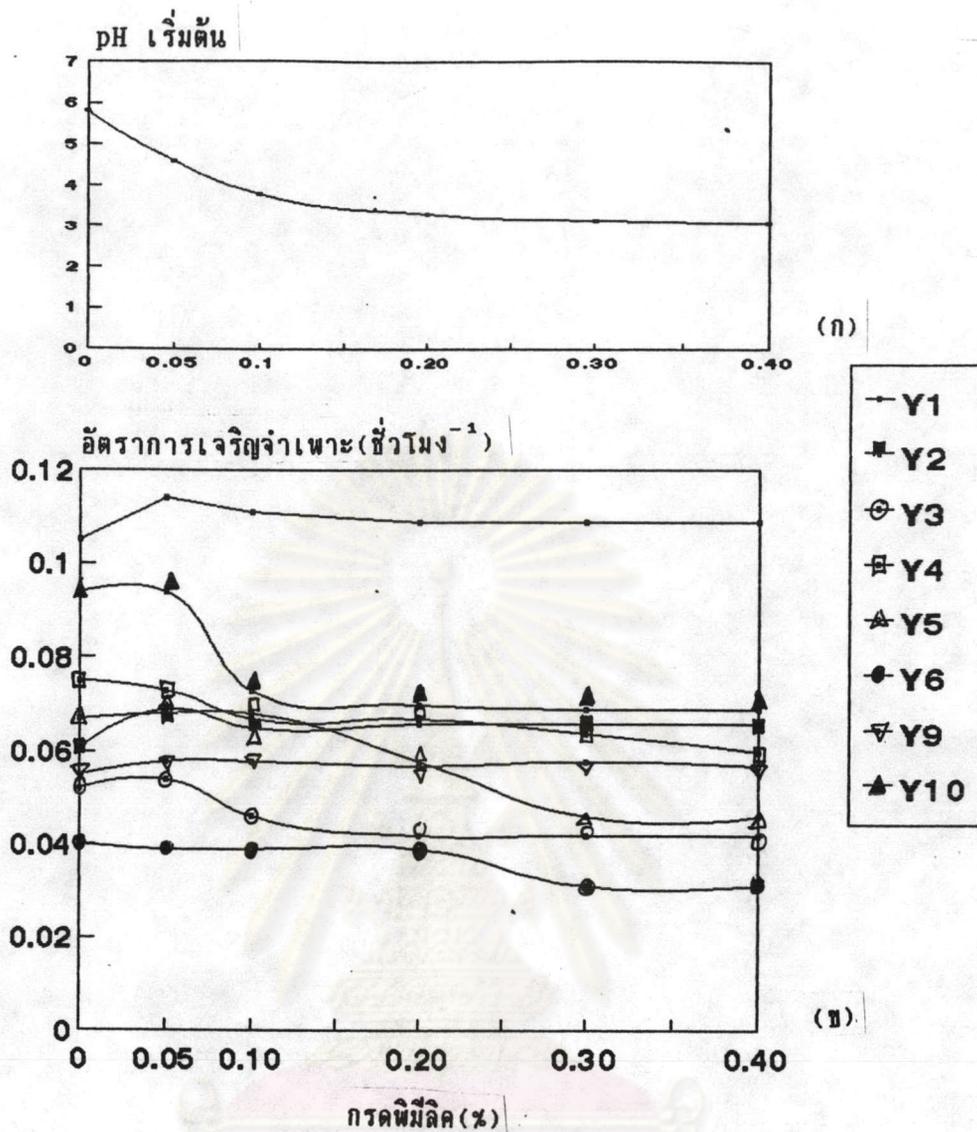
รูปที่ 9ง-16ง (ภาคผนวก ง) แสดงผลของกรดพืชมิลค์ที่ความเข้มข้น 0.05-0.4% ต่อการสังเคราะห์ไบโอติน การเพิ่มจำนวนเซลล์ และปริมาณน้ำตาลรีดิวซ์ ในยีสต์ 8 สายพันธุ์ที่แยกได้

รูปที่ 25 (ก) แสดงให้เห็นว่าการเติมกรดพืชมิลค์ความเข้มข้นต่างๆ ลงใน biotin-free medium มีผลทำให้ความเป็นกรดต่างเริ่มต้นของอาหารเลี้ยงเชื้อลดลง เป็นที่น่าสังเกตว่าหลังจากเติมกรดพืชมิลค์ 0.2, 0.3 และ 0.4 % ค่าพีเอชเริ่มต้นของอาหารเลี้ยงเชื้อมีค่าคงที่ (pH = 3.3) และอัตราการเจริญจำเพาะของยีสต์ทุกสายพันธุ์ (ยกเว้นสายพันธุ์ Y5, Y6) มีค่าคงที่

โดยผลการทดลองสรุปในรูปที่ 25(ข) แสดงให้เห็นว่าอัตราการเจริญจำเพาะของยีสต์สายพันธุ์ Y5, Y6 ลดลงเล็กน้อยเมื่อเปอร์เซ็นต์กรดพืชมิลค์ในอาหารเลี้ยงเชื้ออยู่ในช่วง 0.2-0.4% ส่วนความเข้มข้นของกรดพืชมิลค์ในช่วง 0.05-0.2 % ไม่มีผลต่ออัตราการเจริญจำเพาะต่อยีสต์สายพันธุ์ Y1, Y2, Y4, Y6 และ Y9 ในขณะที่ยีสต์สายพันธุ์ Y3, Y5 และ Y10 มีอัตราการเจริญจำเพาะลดลง

ผลการทดลองแสดงให้เห็นว่ากรดพืชมิลค์ที่ความเข้มข้น 0.05 % มีผลทำให้อัตราการเจริญจำเพาะของยีสต์สายพันธุ์ Y1 และ Y2 เพิ่มขึ้น โดย Y1 มีอัตราการเจริญจำเพาะสูงสุดที่ $0.11 \text{ ชั่วโมง}^{-1}$ ที่ความเข้มข้นกรดพืชมิลค์ 0.05%

สรุปผลการทดลองได้ว่ากรดพืชมิลค์ที่ความเข้มข้น 0.05% มีผลในการเพิ่มอัตราการเจริญจำเพาะของยีสต์สายพันธุ์ Y1 และ Y2 และเมื่อเพิ่มความเข้มข้นของกรดพืชมิลค์ไม่มีผลต่ออัตราการเจริญจำเพาะของยีสต์บางสายพันธุ์ ในขณะที่ยีสต์บางสายพันธุ์จะมีอัตราการเจริญจำเพาะลดลง



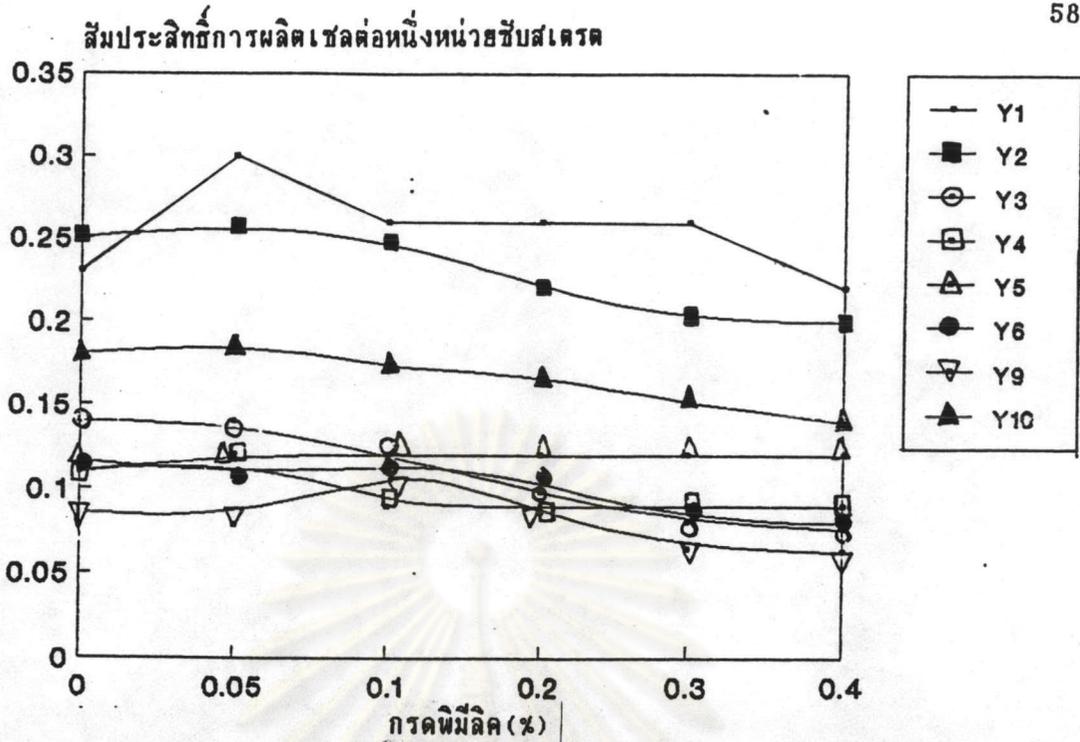
รูปที่ 25 (ก) ความเป็นกรดต่างเริ่มต้นของ biotin-free medium ซึ่งเติมกรดฟอสฟอริกความเข้มข้นต่างๆ

(ข) กราฟเปรียบเทียบผลการเติมกรดฟอสฟอริกต่ออัตราการเจริญจำเพาะของยีสต์ 8 สายพันธุ์ในระดับขนาดเซลล์ เลี้ยงยีสต์ในอาหารเหลว YM จนถึง mid log phase เก็บเซลล์และล้างด้วย 0.85 % โซเดียมคลอไรด์ เติมน้ำลงใน biotin-free medium ให้ได้ความเข้มข้นตั้งต้นเท่ากับ 0.1 ที่ความยาวคลื่น 600 นาโนเมตร เซลล์ที่อุณหภูมิ 28-30°C ความเร็ว 200 รอบต่อนาที เป็นเวลา 50 ชั่วโมง วัดความขุ่นของเซลล์ที่ความยาวคลื่น 600 นาโนเมตร

ผลของการเติมกรดพืชมลิตต่อค่า $Y_{x/\mu}$, $Y_{D/\mu}$

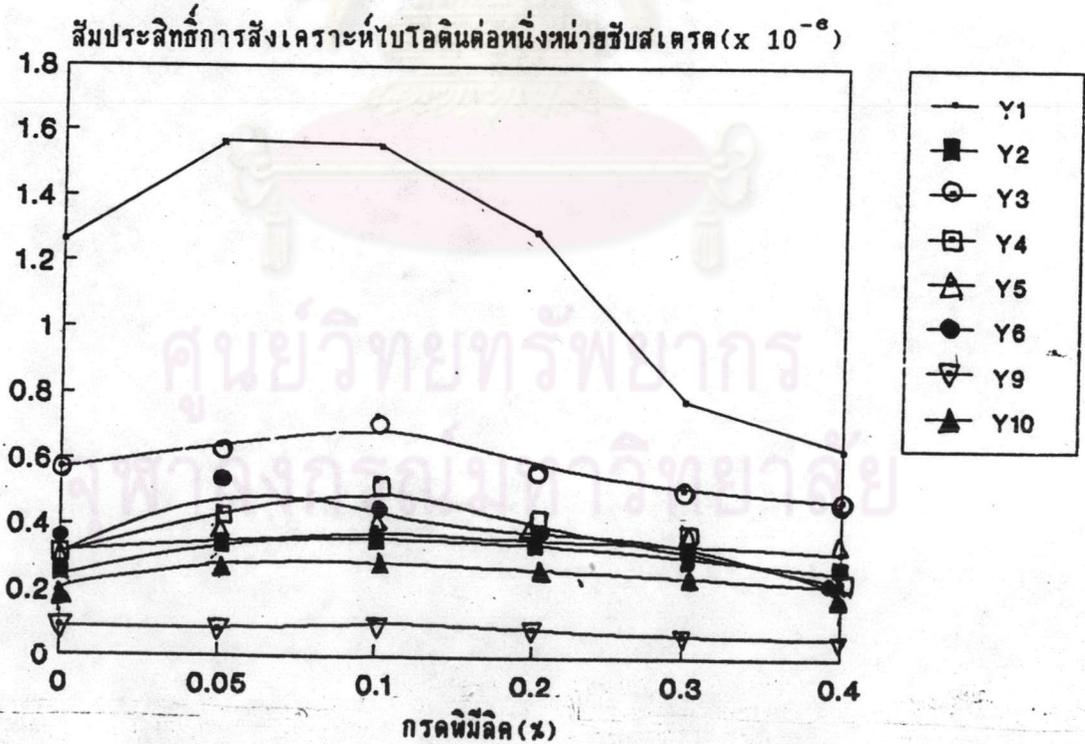
ผลการทดลองรูปที่ 26-27 แสดงให้เห็นว่าในยีสต์สายพันธุ์ Y1 ความเข้มข้นของกรดพืชมลิต 0.05% เพิ่มค่า $Y_{x/\mu}$ และ $Y_{D/\mu}$ โดยค่า $Y_{D/\mu}$ เพิ่มขึ้นสูงที่ความเข้มข้นกรดพืชมลิต 0.05-0.10% และค่า $Y_{D/\mu}$ ลดต่ำลงเมื่อความเข้มข้นกรดพืชมลิตสูงขึ้น เมื่อเลี้ยงที่ความเข้มข้น ยีสต์สายพันธุ์ Y1 ของกรดพืชมลิตทุกความเข้มข้น ค่า $Y_{x/\mu}$ และค่า $Y_{D/\mu}$ สูงกว่ายีสต์สายพันธุ์อื่น ผลการทดลองโดยทั่วไปแสดงให้เห็นว่าความเข้มข้นของกรดพืชมลิตไม่มีผลต่อค่า $Y_{x/\mu}$ และ $Y_{D/\mu}$ ในยีสต์สายพันธุ์อื่น ทั้งนี้ผลการทดลองแสดงให้เห็นว่ายีสต์สายพันธุ์ Y2 ถึง Y6 มีค่า $Y_{x/\mu}$ และค่า $Y_{D/\mu}$ ปานกลาง และยีสต์สายพันธุ์ Y9 มีค่า $Y_{x/\mu}$ และค่า $Y_{D/\mu}$ ต่ำสุด

รูปที่ 27 แสดงให้เห็นยีสต์สายพันธุ์ Y1 และ Y9 ให้ค่า $Y_{D/\mu}$ สูงสุดและต่ำสุดเมื่อเทียบกับยีสต์สายพันธุ์อื่น ดังนั้นจึงคัดเลือกยีสต์ทั้งสองสายพันธุ์นี้เพื่อนำไปทดลองหาผลของการเติมกรดพืชมลิตต่ออัตราการเจริญจำเพาะและการสังเคราะห์ไบโอดีรนของยีสต์ในระดับถึงหมัก



รูปที่ 26 | กราฟเปรียบเทียบค่าสัมประสิทธิ์การผลิตเซลล์ต่อหนึ่งหน่วยชีสเตรด ($Y_{x,t}$) ในยีสต์ทั้ง 8 สายพันธุ์ ในระดับขวดเซ้า กับความเข้มข้นกราดินิมิลิคในช่วง ความเข้มข้น 0.00-0.40%

๑๖



รูปที่ 27 | กราฟเปรียบเทียบค่าสัมประสิทธิ์การผลิตไบโอดีนต่อหนึ่งหน่วยชีสเตรด ($Y_{b,t}$) ในยีสต์ทั้ง 8 สายพันธุ์ ในระดับขวดเซ้า กับความเข้มข้นกราดินิมิลิคในช่วง ความเข้มข้น 0.00-0.40%

๒๗

ผลของการเติมกรดพืชมลิตต่ออัตราการเจริญจำเพาะของยีสต์สายพันธุ์ Y1 และ Y9 ในระดับถึงหมัก

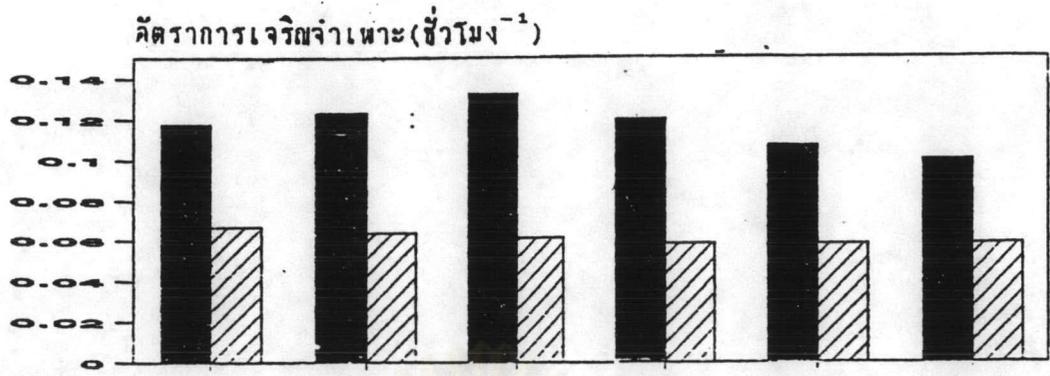
รูปที่ 28 แสดงให้เห็นว่าความเข้มข้นของกรดพืชมลิตในช่วง 0 - 0.4% มีผลต่ออัตราการเจริญจำเพาะต่อยีสต์สายพันธุ์ Y1 แต่ไม่มีผลต่ออัตราการเจริญจำเพาะต่อยีสต์สายพันธุ์ Y9 โดยในยีสต์สายพันธุ์ Y1 ให้ค่าอัตราการเจริญจำเพาะสูงสุดที่ความเข้มข้นกรดพืชมลิต 0.10% และเมื่อความเข้มข้นกรดพืชมลิตเพิ่มสูงขึ้นอัตราการเจริญจำเพาะมีค่าลดต่ำลงตามลำดับ ในขณะที่ยีสต์สายพันธุ์ Y9 มีค่าอัตราการเจริญจำเพาะคงที่

ผลของการเติมกรดพืชมลิต $Y_{x/\%}$ $Y_{p/\%}$ ของยีสต์สายพันธุ์ Y1 และ Y9 ในระดับถึงหมัก

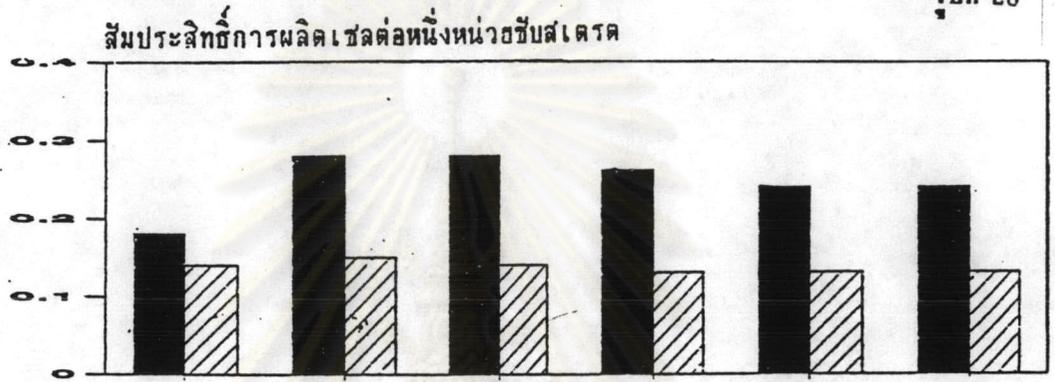
รูปที่ 28-29 แสดงให้เห็นว่าในยีสต์สายพันธุ์ Y1 เมื่อเติมกรดพืชมลิตลงในอาหารเลี้ยงเชื้อจะให้ค่า $Y_{x/\%}$ สูงขึ้น กับการไม่เติมกรดพืชมลิตในอาหารเลี้ยงเชื้อ และค่า $Y_{p/\%}$ เพิ่มขึ้นสูงที่ความเข้มข้นกรดพืชมลิต 0.05% และค่า $Y_{p/\%}$ ลดต่ำลงเมื่อความเข้มข้นกรดพืชมลิตสูงขึ้น ค่าอัตราการเจริญจำเพาะ $Y_{x/\%}$ และ $Y_{p/\%}$ มีค่าใกล้เคียงกับปริมาณที่ได้จากการทดลองในระดับขวดเขย่า

ยีสต์สายพันธุ์ Y9 ให้ค่าอัตราการเจริญจำเพาะค่า $Y_{x/\%}$ และค่า $Y_{p/\%}$ คงที่ โดยที่ความเข้มข้นของกรดพืชมลิตในช่วง 0.0-0.40% ไม่มีผลต่อค่าอัตราการเจริญจำเพาะ และค่าอัตราการเจริญจำเพาะ $Y_{x/\%}$ และ $Y_{p/\%}$ มีค่าใกล้เคียงกับปริมาณที่ได้จากการทดลองในระดับขวดเขย่าเช่นเดียวกัน

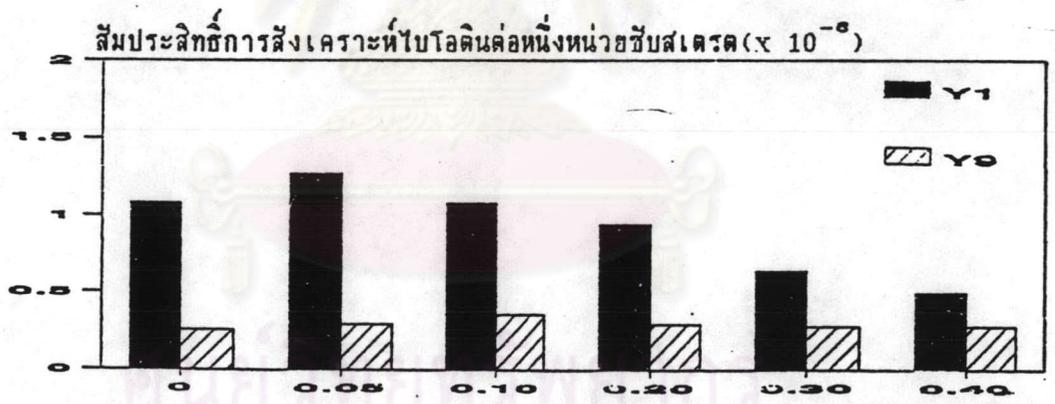
ศูนย์วิจัยทรัพยากร
จุฬาลงกรณ์มหาวิทยาลัย



รูปที่ 28



รูปที่ 29



รูปที่ 30

๒๘

รูปที่ 28 | สีสโตนแกรมเปรียบเทียบค่าอัตราการเจริญจำเพาะ (μ) ในยีสต์ Y1 และ Y9 กับปริมาณความเข้มข้นของกรดไขมันในอาหารเลี้ยงเชื้อที่ไม่เติมไบโอดีรน 0.0 - 0.40% ในระดับถึงหมักขนาด 10 ลิตร

๒๙

รูปที่ 29 | สีสโตนแกรมค่าสัมประสิทธิ์การผลิตเซลล์ต่อหนึ่งหน่วยซับสเตรต ในยีสต์ Y1 และ Y9 ในระดับถึงหมักขนาด 10 ลิตร

๓๐

รูปที่ 30 | สีสโตนแกรมค่าสัมประสิทธิ์การผลิตไบโอดีรนต่อหนึ่งหน่วยซับสเตรต ในยีสต์ Y1 และ Y9 ในระดับถึงหมักขนาด 10 ลิตร